

بِسْمِ اللَّهِ الرَّحْمَنِ الرَّحِيمِ



دانشکده‌ی علوم

گروه آموزشی شیمی کاربردی

پایان‌نامه برای دریافت درجه‌ی کارشناسی ارشد
در رشته‌ی شیمی گرایش آلی

عنوان:

تهیه هیدروژل‌های نانوکامپوزیتی مغنتیت/پلی اکریلیک اسید: اصلاح سطح نانوذرات
اکسید مغناطیسی آهن از طریق گرافت شیمیایی پلی اکریلیک اسید

استاد راهنما:

دکتر یعقوب منصوری

استاد مشاور:

دکتر محمدرضا زمانلو

پژوهشگر:

ملیحه پور اسمعیل

تابستان ۱۳۹۳

تعهدنامه‌ی اصالت اثر و رعایت حقوق دانشگاه

تمامی حقوق مادی و معنوی مترتب بر نتایج، ابتکارات، اختراعات و نوآوری‌های ناشی از انجام این پژوهش، متعلق به **دانشگاه محقق اردبیلی** می‌باشد. نقل مطلب از این اثر، با رعایت مقررات مربوطه و با ذکر نام دانشگاه محقق اردبیلی، نام استاد راهنما و دانشجو بلامانع است.

اینجانب ملیحه پوراسمعیل دانشآموخته‌ی مقطع کارشناسی ارشد رشته‌ی شیمی گرایش آلی دانشکده‌ی علوم دانشگاه محقق اردبیلی به شماره‌ی دانشجویی ۱۳۹۳/۰۶/۲۴ که در تاریخ ۹۱۲۲۹۳۱۰۳ از پایان‌نامه‌ی تحصیلی خود تحت عنوان تهیه هیدروژل‌های نانوکامپوزیتی مگنتیت/پلی‌اکریلیک اسید: اصلاح سطح نانوذرات اکسید مغناطیسی آهن از طریق گرافت شیمیابی پلی‌اکریلیک اسید دفاع نموده‌ام، متعهد می‌شوم که:

- (۱) این پایان‌نامه را قبلاً برای دریافت هیچ‌گونه مدرک تحصیلی یا به عنوان هرگونه فعالیت پژوهشی در سایر دانشگاه‌ها و مؤسسات آموزشی و پژوهشی داخل و خارج از کشور ارائه ننموده‌ام.
- (۲) مسئولیت صحّت و سقم تمامی مندرجات پایان‌نامه‌ی تحصیلی خود را بر عهده می‌گیرم.
- (۳) این پایان‌نامه، حاصل پژوهش انجام شده توسط اینجانب می‌باشد.
- (۴) در مواردی که از دستاوردهای علمی و پژوهشی دیگران استفاده نموده‌ام، مطابق ضوابط و مقررات مربوطه و با رعایت اصل امانتداری علمی، نام منبع مورد استفاده و سایر مشخصات آن را در متن و فهرست منابع و مأخذ ذکر نموده‌ام.
- (۵) چنانچه بعد از فراغت از تحصیل، قصد استفاده یا هرگونه بهره‌برداری اعم از نشر کتاب، ثبت اختراع و ... از این پایان‌نامه را داشته باشم، از حوزه‌ی معاونت پژوهشی و فناوری دانشگاه محقق اردبیلی، مجوزهای لازم را اخذ نمایم.
- (۶) در صورت ارائه‌ی مقاله‌ی مستخرج از این پایان‌نامه در همایش‌ها، کنفرانس‌ها، سeminارها، گردهمایی‌ها و انواع مجلات، نام دانشگاه محقق اردبیلی را در کنار نام نویسنده‌گان (دانشجو و اساتید راهنما و مشاور) ذکر نمایم.
- (۷) چنانچه در هر مقطع زمانی، خلاف موارد فوق ثابت شود، عواقب ناشی از آن (منجمله ابطال مدرک تحصیلی، طرح شکایت توسط دانشگاه و ...) را می‌پذیرم و دانشگاه محقق اردبیلی را مجاز می‌دانم با اینجانب مطابق ضوابط و مقررات مربوطه رفتار نماید.

نام و نام خانوادگی دانشجو: ملیحه پوراسمعیل

امضا

تاریخ



دانشکده‌ی علوم

گروه آموزشی شیمی کاربردی

پایان نامه برای دریافت درجهٔ کارشناسی ارشد در رشتهٔ شیمی گرایش آلب

عوالي

تقویه هیدروژل های نانو گامپوزیتی مغنتیت / پلی اکریلیک اسید: اصلاح سطح فانوذرات
اسید مغناطیسی آهن از طریق گرافت شیمیایی پلی اکریلیک اسید

ن و هشگ :

ملحقہ ب، اسماعیل

..... از یاری و تصویب شده‌ی کمیته‌ی داوران پایان‌نامه با درجه‌ی **۵**

| نام و نام خانوادگی | مرتبه علمی | سمت | اعضاء |
|----------------------|------------|-----------------------------------|-------|
| دکتر یعقوب منصوری | دانشیار | استاد راهنمای و رئیس کمیته داوران | |
| دکتر محمد رضا زمانلو | استادیار | استاد مشاور | |
| دکتر فاروق نصیری | دانشیار | داور | |

۱۳۹۳ - شهریور

این پیان نامه راضمن مشکل و سپاس بیکران تقدیم می‌نمایم به:

پروردگار عزیزم

و به تمام کسانی که در راه کسب علم و معرفت را همایم بوده‌اند.

پاسکنزاری:

پاس خدار که هرچه دارم از اوست و بزرگترین امید، یاور و تکیه گاهیم در سخن خطه زندگیست.

از آنجاکه تجلیل از معلم پاس از انسانی است که هدف و غایت آفرینش را تامی می‌کند و سلامت امانت های را که به دستش سپرده‌اند،
تصسین؛ بر حسب وظیفه و از باب «من لم يُكِنْ الْمَعْنَمَ مِنَ الْمَحْلوَقِينَ لَمْ يُكِنْ اللَّهُ عَزَّوَ جَلَّ»

از استاد صبور و شایسته؛ جناب آقای دکتر یعقوب منصوری که در کمال صحة صدر، با حسن خلق و فروتنی، از بیچارگی در این عرصه بر من دین
تندوزند و صادقانه تجربیاتش را در اختیار من کذا شنید؛ کمال مشکر و قدردانی را دارم.

از جناب آقايان دکتر محمد رضا زمانلو (مشاور) و دکتر فاروق نصیری (داور داخلی) بخاطر بازخوانی و داوری اين پروژه نيز پاسکنزارم.

از استاد کر انقدر جناب آقای دکترا یا نزاده بابت تمام نظرات مفیدشان، تقدیر و مشکر می‌نمایم.

از تمامی استادی محترم گروه شیعی کاربردی دانشگاه محقق اردبیلی، که حتی استادی برگردان این جناب داشته و افتخار کسب علم و ادب و
حضورشان را داشتم قدردانی می‌نمایم. همچنین قردادان زحمات آقای خدایاری در بهترین سریان این پروژه همکاریهای لازم را با من
داشته‌اند و تجربه کارکردن در کنارشان برایم شیرین و به یادماند نیست بسیار ممتوثم.

از همه دوستانم در آزمایشگاه تحقیقاتی شیعی آمی، خانم ها زهراء سلطان زاده، مونا موسوی، طاهره حسینی و آقای عبدالعزیز پاسکنزارم.

و در پایان از خانواده عزیزم که همواره در تمامی مراحل زندگی بعد از خدا، یاور و پشتیان من بوده و هستند نهایت پاسکنزاری را دارم.

ملیحه پورا سعیل

| | |
|---|-----------------------------------|
| نام: مليحه | نام خانوادگی دانشجو: پوراسمعیل |
| عنوان پایان نامه: تهیه هیدروژل های نانوکامپوزیتی مگنتیت/پلی اکریلیک اسید: اصلاح سطح نانوذرات اکسید مغناطیسی آهن از طریق گرافت شیمیایی پلی اکریلیک اسید | |
| استاد راهنمای: دکتر یعقوب منصوری | استاد مشاور: دکتر محمد رضا زمانلو |
| رشته: شیمی | قطع تحصیلی: کارشناسی ارشد |
| دانشگاه: حقوق اردبیلی | گرایش: آلبی |
| تعداد صفحات: ۸۷ | تاریخ دفاع: ۱۳۹۳/۰۶/۲۴ |
| دانشکده: علوم | چکیده: |
| <p>هیدروژل های نانوکامپوزیتی مغناطیسی، به دلیل دارا بودن خاصیت مغناطیسی و آب دوستی امروزه کاربرد گسترده ای را پیدا کرده اند. در کار حاضر نانوذرات مگنتیت با استفاده از روش هم رسوی سنتز شدند. سپس نانوذرات مگنتیت سنتز شده در ادامه با ترکیب تری اتوکسی وینیل سیلان سایلیله شدند تا یک ترکیب با ساختار هسته پوسته حاوی گروه های وینیلی بر روی سطح تشکیل شود. پلیمریزاسیون رادیکالی محصول سایلیله شده با اکریلیک اسید به عنوان یک مونومر وینیلی منجر به گرافت شیمیایی پلی اکریلیک اسید بر روی نانوذرات مغناطیسی می شود. هموپلیمر تشکیل شده در طی این واکنش به وسیله ای استخراج با سکسوله از محصول گرافت شده به مگنتیت جدا شد. گرافت شیمیایی پلیمر به سطح نانومگنتیت سایلیله شده به وسیله ای طیف FT-IR نشان داده شده است. پلیمریزاسیون رادیکالی محصول سایلیله شده با اکریلیک اسید در مجاورت متیلن بیس اکریل آمید به عنوان عامل شبکه ای کننده منجر به تشکیل هیدروژل های نانوکامپوزیتی شد، که در آن زنجیرهای پلی اکریلیک اسید به صورت شیمیایی به نانوذرات مغناطیسی متصل شده اند. هیدروژل های تهیه شده و نانوذرات گرافت شده با استفاده از آنالیزهای XRD ، SEM ، TGA ، VSM ، TEM شناسایی شدند. همچنین رفتار تورمی این هیدروژل ها در pH های مختلف نیز مطالعه شد.</p> | |
| کلید واژه ها: هیدروژل های نانوکامپوزیتی، پلی اکریلیک اسید، مگنتیت، هسته - پوسته. | |

فهرست مطالب

شماره و عنوان مطالب

صفحه

فصل اول: مقدمه

| | |
|----|--|
| ۱ | فصل اول: مقدمه..... |
| ۲ | ۱- نانوذرات اکسید آهن..... |
| ۳ | ۲- ساختار کربیتالی مگنتیت..... |
| ۴ | ۳- خصوصیات مغناطیسی و رنگ مگنتیت..... |
| ۵ | ۴- واکنش‌های تبدیلی در مگنتیت..... |
| ۶ | ۵- روش‌های سنتز نانوذرات مغناطیسی اکسید آهن..... |
| ۷ | ۱-۵- روش هم‌رسوبی..... |
| ۸ | ۲-۵- روش سونوژیمیایی..... |
| ۹ | ۳-۵- روش سل-ژل..... |
| ۱۰ | ۴-۵- سنتز بدون حلال..... |
| ۱۱ | ۵- روش هیدرو ترمال..... |
| ۱۲ | ۶-۵- تجزیه‌ی حرارتی..... |
| ۱۳ | ۷-۵- میکرومولسیون یا مایسل معکوس..... |
| ۱۴ | ۸- شیمی سطح مگنتیت..... |
| ۱۵ | ۹- حفاظت سطح ذرات مغناطیسی..... |
| ۱۶ | ۱-۷-۱- پوشش‌های آلی..... |
| ۱۷ | ۱-۷-۱-۱- سورفاکتانت‌ها..... |
| ۱۸ | ۱-۷-۱-۲- اصلاح سطح براساس پلیمریزاسیون..... |
| ۱۹ | ۱-۷-۲- پوشش با مواد معدنی..... |

| | |
|---------|--|
| ۱۱..... | ۱-۲-۷-۱ پوشش با سیلیکا |
| ۱۱..... | ۱-۲-۷-۱ پوشش کربنی |
| ۱۲..... | ۱-۳-۷-۱ پوشش با فلزات گران بها |
| ۱۲..... | ۱-۴-۷-۱ پوشش با آلومینا |
| ۱۲..... | ۱-۸-۱ هیدروژل |
| ۱۳..... | ۱-۸-۱ هیدروژل های حساس به pH |
| ۱۴..... | ۱-۸-۱ هیدروژل های حساس به دما |
| ۱۵..... | ۱-۸-۱ هیدروژل های ابر جاذب |
| ۱۵..... | ۱-۹-۱ طبقه بندی هیدروژل ها |
| ۱۶..... | ۱-۹-۱ هیدروژل های دارای اتصالات عرضی با عامل شیمیایی |
| ۱۶..... | ۱-۹-۱ تشکیل اتصال عرضی از طریق تابش های پر انرژی |
| ۱۷..... | ۱-۹-۱ اتصال عرضی با پلیمریزاسیون رادیکالی |
| ۱۸..... | ۱-۹-۱ اتصال عرضی با واکنش شیمیایی گروه های مکمل |
| ۱۸..... | ۱-۹-۱ اتصالات عرضی فیزیکی |
| ۱۹..... | ۱-۹-۱ اتصال عرضی از طریق تبلور |
| ۱۹..... | ۱-۹-۱ هیدروژل های دارای اتصال عرضی فیزیکی از بلوک دو خصلتی و گرافت کوپلیمرها |
| ۱۹..... | ۱-۹-۱ ایجاد اتصال عرضی از طریق برهمکنش یونی |
| ۲۰..... | ۱-۹-۱ اتصال عرضی با پیوند هیدروژنی |
| ۲۱..... | ۱-۱۰-۱ فروژل ها |
| ۲۱..... | ۱-۱۰-۱ روش های سنتز هیدروژل های مغناطیسی |
| ۲۲..... | ۱-۱۰-۱-۱ آمیزه کاری |
| ۲۳..... | ۱-۱۰-۱ روش ترسیب در محل |
| ۲۴..... | ۱-۱۰-۱-۳ روش اتصال بر روی |
| ۲۵..... | ۱-۱۱-۱ هدف |

فصل دوم: بخش تجربی

| | |
|---------|--|
| ۲۸..... | ۲ فصل دوم: بخش تجربی |
| ۲۸..... | ۱-۲ اطلاعات کلی |
| ۲۸..... | ۲-۲ سنتز نانوذرات مگنتیت (Fe_3O_4) |
| ۲۹..... | ۳-۲ سایلیاسیون شیمیایی نانوذرات مگنتیت با تری اتوکسی وینیل سیلان |
| ۳۰..... | ۴-۲ واکنش پلیمریزاسیون نانوذرات مگنتیت سایلیله شده با اکریلیک اسید |
| ۳۱..... | ۵-۲ آزمایش شاهد |
| ۳۱..... | ۶-۲ تهیه هیدروژل پلی اکریلیک اسید خالص |
| ۳۲..... | ۷-۲ تهیه هیدروژل نانوکامپوزیتی اکریلیک اسید/مگنتیت سایلیله شده (۵ Wt.-%) |
| ۳۲..... | ۸-۲ تهیه هیدروژل نانوکامپوزیتی اکریلیک اسید/مگنتیت سایلیله شده (۱۰ Wt.-%) |
| ۳۲..... | ۹-۲ تهیه هیدروژل نانوکامپوزیتی اکریلیک اسید/مگنتیت سایلیله شده (۱۵ Wt.-%) |
| ۳۳..... | ۱۰-۲ تهیه هیدروژل نانوکامپوزیتی اکریلیک اسید/مگنتیت سایلیله شده (۲۰ Wt.-%) |
| ۳۳..... | ۱۱-۲ اندازه‌گیری جذب آب توسط هیدروژل خالص پلی اکریلیک اسید و هیدروژل‌های نانوکامپوزیتی |
| ۳۳..... | ۱۲-۲ بررسی تاثیر pH بر ظرفیت جذب آب |

فصل سوم: بحث و نتیجه گیری

| | |
|---------|--|
| ۳۵..... | ۳ فصل سوم: بحث و نتیجه گیری |
| ۳۵..... | ۱-۳ تهیه و شناسایی نانوذرات مگنتیت گرافت شده با پلی اکریلیک اسید |
| ۳۶..... | ۱-۳-۱ آنالیز طیف FT-IR |
| ۳۸..... | ۱-۳-۲ تعیین میزان گرافت پلی اکریلیک اسید برروی نانوذرات مگنتیت از طریق آنالیز حرارتی |
| ۴۰..... | ۱-۳-۳ بررسی نتایج XRD نانوذرات مگنتیت سنتز شده |
| ۴۲..... | ۴-۱-۳ بررسی تصاویر SEM |
| ۴۴..... | ۴-۱-۳-۵ بررسی تصاویر TEM |
| ۴۶..... | ۲-۳ تهیه و بررسی هیدروژل پلی اکریلیک اسید خالص و هیدروژل‌های نانوکامپوزیتی مگنتیت / پلی اکریلیک اسید |
| ۴۷..... | ۲-۳-۱ اثر ایجاد اتصال عرضی بر پایداری حرارتی پلی اکریلیک اسید |

| | |
|---|----|
| ۲-۲-۳ تاثیر نانوذرات مگنتیت بر پایداری حرارتی هیدروژل‌های نانوکامپوزیتی..... | ۵۰ |
| ۳-۲-۳ بررسی الگوی XRD هیدروژل نانوکامپوزیتی..... | ۵۱ |
| ۴-۲-۳ بررسی تصاویر SEM هیدروژل خالص پلی اکریلیک اسید و هیدروژل نانوکامپوزیتی..... | ۵۲ |
| ۵-۲-۳ اندازه‌گیری میزان خاصیت مغناطیسی..... | ۵۲ |
| ۶-۲-۳ بررسی میزان جذب آب (تورم) در هیدروژل خالص و هیدروژل‌های نانوکامپوزیتی..... | ۵۸ |
| ۱-۶-۲-۳ تعیین زمان تعادل برای جذب آب..... | ۵۹ |
| ۲-۶-۲-۳ تاثیر درصدهای مختلف نانوذرات مگنتیت بر روی میزان جذب آب..... | ۶۰ |
| ۳-۶-۲-۳ بررسی تاثیر pH بر میزان جذب آب..... | ۶۱ |
| ۳-۳ نتیجه گیری..... | ۶۳ |
| ۴-۳ پیشنهادات..... | ۶۵ |
| فهرست منابع:..... | ۶۶ |
| پیوست‌ها و ضمائیم..... | ۷۲ |

فهرست جداول

| صفحه | شماره و عنوان جدول |
|---------|---|
| ۴۸..... | جدول ۳-۱: نتایج به دست آمده از ترموگرام جرم سنجی حرارتی پلیمر و هیدروژل پلی اکریلیک اسید..... |
| ۵۱..... | جدول ۳-۲: داده‌های مربوط به آنالیز حرارتی هیدروژل پلی اکریلیک اسید خالص و هیدروژل‌های نانوکامپوزیتی پلی اکریلیک اسید..... |
| ۵۸..... | جدول ۳-۳: مشخصات مغناطیسی نانوذرات مگنتیت، مگنتیت سایلیله شده و مگنتیت گرفت شده با پلی اکریلیک اسید..... |
| ۶۱..... | جدول ۳-۴: بررسی تأثیر pH بر میزان جذب آب هیدروژل خالص پلی اکریلیک اسید و هیدروژل‌های نانوکامپوزیتی..... |

فهرست شکل‌ها

| صفحه | شماره و عنوان شکل |
|------|--|
| ۳ | شکل ۱-۱: ساختار کریستالی مگنتیت. |
| ۳ | شکل ۱-۲: معادله اکسایش مگنتیت در مجاورت اتمسفر اکسنده. |
| ۴ | شکل ۱-۳: معادله‌ی تبدیل مگنتیت به آهن و یا FeO در مجاورت اتمسفر کاهنده. |
| ۴ | شکل ۱-۴: معادله‌ی تشکیل نانوذرات اکسید آهن. |
| ۵ | شکل ۱-۵: مکانیسم افزایش اندازه ذرات در pH های بالاتر از ۱۱. |
| ۸ | شکل ۱-۶: رفتار ذرات مگنتیت در pH های مختلف محیط. |
| ۱۱ | شکل ۱-۷: ساختار نانوذرات حفاظت شده با سیلیکا در شرایط مختلف سنتز. |
| ۱۳ | شکل ۱-۸: رفتار پلیمرهای حساس به pH برای یک سیستم حاوی گروههای کربوکسیلیک اسید. |
| ۱۵ | شکل ۱-۹: ساختار برخی از پلیمرهای حساس به دما. |
| ۱۶ | شکل ۱-۱۰: نحوه‌ی تشکیل اتصال عرضی از طریق تابش‌های پر انرژی. |
| ۱۷ | شکل ۱-۱۱: فرایند تشکیل پلی ۲-هیدروکسی اتیل اکریلات. |
| ۱۷ | شکل ۱-۱۲: تشکیل هیدروژل از طریق پلیمریزاسیون رادیکالی پلیمرهای محلول در آب. |
| ۲۰ | شکل ۱-۱۳: ژل شدن یونوتروپیک با برهمنکنش بین گروههای آنیونی (COO ⁻) با یون‌های فلزی دو ظرفیتی Ca ⁺² . |
| ۲۰ | شکل ۱-۱۴: تشکیل شبکه هیدروژل به دلیل پیوند هیدروژنی بین مولکولی در کربوکسی متیل سلولز در pH اسیدی. |
| ۲۲ | شکل ۱-۱۵: شماهی تهیه‌ی هیدروژل مغناطیسی با روش آمیزه کاری. |
| ۲۳ | شکل ۱-۱۶: سنتز نانوذرات مغناطیسی درون هیدروژل. |
| ۲۳ | شکل ۱-۱۷: (a) هیدروژل متورم (b) هیدروژل بار گذاری شده با یون‌های آهن (c) هیدروژل حاوی نانوذرات مگنتیت. |
| ۲۵ | شکل ۱-۱۸: مسیر سنتز میکروژل حساس به دمای PNIPAm-Fe ₃ O ₄ با نانوذرات Fe ₃ O ₄ اصلاح شده. |
| ۲۹ | شکل ۱-۱۹: معادله‌ی واکنش تهیه نانوذرات مگنتیت. |
| ۳۰ | شکل ۲-۱: شماهی سایلیلاسیون نانوذرات مگنتیت توسط تری اتوکسی وینیل سیلان. |

| | |
|---|----|
| شکل ۲-۳: شمای تهیه نانو کامپوزیت مگنتیت گرافت شده با پلی اکریلیک اسید | ۳۰ |
| شکل ۱-۳: شمای تهیه مگنتیت گرافت شده با پلی اکریلیک اسید | ۳۶ |
| شکل ۲-۳: مقایسه طیف‌های FT-IR : (a) مگنتیت؛ (b) مگنتیت سایلیله شده؛ (c) مگنتیت گرافت شده با پلی اکریلیک اسید؛ (d) پلی اکریلیک اسید خالص | ۳۷ |
| شکل ۳-۳: ساختار زنجیرهای پلی اکریلیک اسید | ۳۸ |
| شکل ۴-۳ : تفریق ریاضی طیف FT-IR : (a) پلی اکریلیک اسید خالص؛ (b) طیف حاصل از تفریق ریاضی مگنتیت سایلیله شده از طیف مگنتیت گرافت شده با پلی اکریلیک اسید | ۳۸ |
| شکل ۵-۳: دیاگرام TGA برای نانوذرات مگنتیت، نانومگنتیت سایلیله شده و نانوذرات مگنتیت گرافت شده با پلی اکریلیک اسید | ۳۹ |
| شکل ۶-۳: پراش پرتوهای X توسط یک بلور | ۴۰ |
| شکل ۷-۳ : مقایسه الگوی XRD : (a) مگنتیت؛ (b) مگنتیت سایلیله شده؛ (c) مگنتیت گرافت شده با پلی اکریلیک اسید | ۴۱ |
| شکل ۸-۳ : تصاویر SEM: (a) مگنتیت سایلیله شده؛ (b) مگنتیت گرافت شده با پلی اکریلیک اسید با بزرگنمایی X ۵۰۰۰ | ۴۳ |
| شکل ۹-۳ : تصاویر TEM : (a) نانوذرات مگنتیت؛ (b) نانوذرات مگنتیت سایلیله شده؛ (c) مگنتیت گرافت شده با پلی اکریلیک اسید | ۴۵ |
| شکل ۱۰-۳: شمای تهیه‌ی هیدروژل‌های نانو کامپوزیتی | ۴۶ |
| شکل ۱۱-۳: طیف FT-IR : (a) مگنتیت سایلیله شده؛ (b) N,N-متیلن بیس اکریل آمید؛ (c) هیدروژل نانو کامپوزیتی٪ ۱۰ و (d) پلی اکریلیک اسید | ۴۷ |
| شکل ۱۲-۳: دیاگرام TGA برای پلی اکریلیک اسید و هیدروژل پلی اکریلیک اسید | ۴۸ |
| شکل ۱۳-۳: تشکیل گلوتاریک ایندیرید در فرایند تخریب پلی اکریلیک اسید | ۴۹ |
| شکل ۱۴-۳: آزاد شدن دی اکسید کربن از دی ایندیرید در فرایند تخریب پلی اکریلیک اسید | ۴۹ |
| شکل ۱۵-۳: شمایی از به دام افتادن واحدهای اکریلیک اسید در بین حلقه‌های ایندیرید | ۴۹ |
| شکل ۱۶-۳: دیاگرام TGA هیدروژل خالص و هیدروژل‌های نانو کامپوزیتی | ۵۰ |
| شکل ۱۷-۳: الگوی XRD هیدروژل نانو کامپوزیتی٪ ۱۵ | ۵۱ |
| شکل ۱۸-۳: تصاویر SEM نمونه‌های هیدروژل با بزرگنمایی X ۵۰۰۰: (a) هیدروژل خالص؛ (b) هیدروژل نانو کامپوزیتی٪ ۱۵ | ۵۲ |

شکل ۱۹-۳: حلقه پسماند ایجاد شده در مطالعات مغناطیسی با VSM ۵۳

شکل ۲۰-۳: وابستگی نیروی وادارنده پسماند به اندازه نانوذرات ۵۶

شکل ۲۱-۳: منحنی VSM نانوذرات مغنتیت، مغنتیت سایلیله شده، مغنتیت گرفت شده با پلی اکریلیک اسید و هیدروژل ۵۷

شکل ۲۲-۳: میزان تورم هیدروژل پلی اکریلیک اسید خالص و هیدروژل‌های نانوکامپوزیتی در بازه‌ی زمانی ۴۸-۵۹ ساعت ۶۰

شکل ۲۳-۳: تاثیر درصد نانوذرات مغنتیت بر میزان تورم ۶۰

شکل ۲۴-۳: تاثیر pH بر میزان جذب آب هیدروژل خالص و هیدروژل‌های نانوکامپوزیتی ۶۱

شکل ۲۵-۳: شمایی از آب پوشی یون سدیم ۶۲

شکل ۱-۴: طیف FT-IR نانوذرات مغنتیت (KBr) ۷۳

شکل ۲-۴: طیف FT-IR نانوذرات مغنتیت سایلیله شده (KBr) ۷۴

شکل ۳-۴: طیف IR-FT نانو مغنتیت گرفت شده با پلی اکریلیک اسید (KBr) ۷۵

شکل ۴-۴: طیف IR-FT پلی اکریلیک اسید خالص (KBr) ۷۶

شکل ۵-۴: طیف IR-FT هیدروژل پلی اکریلیک اسید خالص (KBr) ۷۷

شکل ۶-۴: طیف IR-FT هیدروژل نانوکامپوزیتی پلی اکریلیک اسید ۵% (KBr) ۷۸

شکل ۷-۴: طیف IR-FT هیدروژل نانوکامپوزیتی پلی اکریلیک اسید ۱۰% (KBr) ۷۹

شکل ۸-۴: طیف IR-FT هیدروژل نانوکامپوزیتی پلی اکریلیک اسید ۱۵% (KBr) ۸۰

شکل ۹-۴: طیف IR-FT هیدروژل نانوکامپوزیتی پلی اکریلیک اسید ۲۰% (KBr) ۸۱

شکل ۱۰-۴: تصویر SEM نانوذرات مغنتیت ۸۲

شکل ۱۱-۴: تصویر SEM نانوذرات مغنتیت سایلیله شده ۸۳

شکل ۱۲-۴: تصویر SEM مغنتیت گرفت شده با پلی اکریلیک اسید ۸۴

شکل ۱۳-۴: تصویر TEM نانوذرات مغنتیت ۸۵

شکل ۱۴-۴: تصویر TEM نانوذرات مغنتیت سایلیله شده ۸۶

شکل ۱۵-۴: تصویر TEM نانوذرات مغنتیت گرفت شده با پلی اکریلیک اسید ۸۷

فهرست علائم اختصاری

| علامت اختصاری | مفهوم یا توضیح |
|-----------------|---|
| acac | Acetylacetone |
| atm | Atmosphere |
| BPO | Benzoylperoxide |
| CFSE | Crystal Field Stabilization Energy |
| cm | Centimeter |
| cup | N-nitrosophenylhydroxylamine |
| DMF | N,N-Dimethyleformamide |
| emu/g | Electromagnetic unit/gram |
| EtOH | Etanol |
| FT-IR | Fourier Transform Infrared |
| h | Hour |
| Hc | Coercive force |
| HCN | Hydrogel contain nanoparticles |
| JCPDS | Joint Committee on Powder Diffraction Standards |
| LCST | Lower critical solution Temperature |
| MBA | N,N-Methylenebisacrylamide |
| M _r | Magnetic remanence |
| M _s | Saturation magnetization |
| MNPs | Magnetic nanoparticles |
| nm | Nano meter |
| Oe | Oersted |
| PAA | Poly (acrylic acid) |
| r _c | Critical radius |
| SEM | Scanning Electron Microscopy |
| T _{D1} | Onset decomposition temperature |
| TEM | Transmission Electron Microscopy |
| TGA | Termogravimetric Analysis |

| | |
|-----------------|--|
| TMSPMA | 3-(trimethoxysilyl) propylmethacrylate |
| T _{P1} | The 1st derivative peak temperature |
| T _{P2} | The 2st derivative peak temperature |
| UCST | Upper critical solution Temperature |
| VSM | Vibrating Sample Magnetometer |
| XRD | X-ray difraction |

فصل

اول

مقدمہ



۱ فصل اول: مقدمه

۱-۱ نانوذرات اکسید آهن

واژه‌ی نانوساختار اغلب برای توصیف موادی با مقیاس nm ۱-۱۰۰ به کار می‌رود (Leslie- Pelecky & Rieke, 1996) که در مقایسه با اجزای توده‌ای یا اتمی به دلیل اثر مزوسکوپیک^۱، اثر کوچکی^۲، ابعاد^۳، اثر اندازه کوانتمومی^۴ و اثر سطح^۵ دارای خواص فیزیکی و شیمیایی منحصر بفردی هستند (Wei, Han, Hu, Lin, Wang & Deng, 2012). در میان نانوذرات، نانوذرات اکسید آهن نمونه‌ای از مواد پرکاربرد می‌باشد. شانزده فاز برای اکسیدهای آهن وجود دارد که شامل اکسیدها، هیدروکسیدها یا اکسی‌هیدروکسیدها است. ویژگی مشخصه این ترکیبات، شکل سه ظرفیتی آهن، حلالیت پایین و رنگ خاص آنها می‌باشد (Mohapatra & Anand, 2010). در این بین نانو ذرات Fe₃O₄ به دلیل خاصیت سوپر پارامغناطیسی، دمای کوریه^۶ پایین، غیر سمی بودن و ... بیشتر مورد توجه قرار گرفته است (Wei et al., 2012).

۲-۱ ساختار کریستالی مگنتیت^۷

مگنتیت دارای ساختار کریستالی اسپینل معکوس می‌باشد که در آن هر سلول واحد شامل ۳۲ اتم اکسیژن است، که در ساختار مکعبی وجوده پر^۷ قرار دارد. طول لبه سلول واحد برابر ۰/۸۳۹ nm می‌باشد. در این ساختار کریستالی یون‌های Fe(II) و نصف یون‌های Fe(III) محل‌های اکتاکتدرال را اشغال می‌کنند. نصف دیگر یون‌های Fe(III) در محل تترادکادرال قرار می‌گیرند. اتم‌های آهن دو ظرفیتی به دلیل داشتن انرژی پایداری میدان بلور^۸ (CFSE) بالا، ترجیح می‌دهند تا محل‌های اکتاکتدرال را اشغال کنند.

1- Mesoscopic effect

2- Small object effect

3- Quantum size effect

4- Surface effect

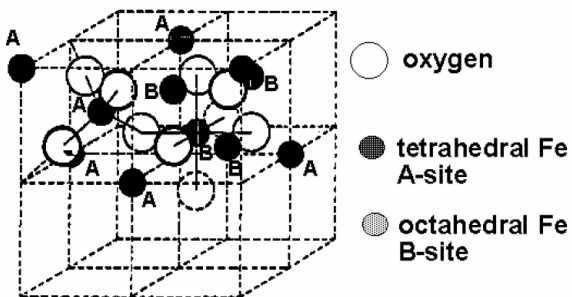
5- Curie temperature

6- Magnetite

7- Face Center Cubic (FCC)

8- Crystal Field Stabilization Energy

این در حالی است که یون‌های Fe(III) در صورت قرار گرفتن در هر کدام از محل‌های اکتاهدراال یا تراهدراال انرژی پایداری میدان بلور برابر با صفر را خواهند داشت. شکل ۱-۱ یک سلول واحد از مگنتیت را نشان می‌دهد.



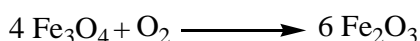
شکل ۱-۱: ساختار کریستالی مگنتیت

۱- خصوصیات مغناطیسی و رنگ مگنتیت

ساختار کریستالی مگنتیت مسئول خصوصیات مغناطیسی و رنگ مشاهده شده برای آن است. رنگ سیاه مگنتیت از انتقال بار بین یون‌های Fe(II) و Fe(III) در ساختار کریستالی آن حاصل می‌شود. خصوصیات مغناطیسی هم، ناشی از نحوه قرارگیری اتم‌های Fe(II) و Fe(III) در محل‌های اکتاهدراال و تراهدراال می‌باشد. چون در این حالت، اسپین‌های مربوط به محل‌های اکتاهدراال و تراهدراال موازی نبوده و بزرگی دو نوع اسپین نیز با هم برابر نمی‌باشد.

۲- واکنش‌های تبدیلی در مگنتیت

مگنتیت تحت اتمسفر اکسیده با واکنش نشان داده شده در شکل ۲-۱ به مگمایت^۱ ($\gamma\text{-Fe}_2\text{O}_3$) و یا هماتیت^۲ ($\alpha\text{-Fe}_2\text{O}_3$) تبدیل می‌شود.



شکل ۲-۱: معادله اکسایش مگنتیت در مجاورت اتمسفر اکسیده

از سوی دیگر این ماده در مجاورت اتمسفر کاهنده نظیر کربن مطابق با معادله‌ی نشان داده در

1- Maghemite
2- Hematite